

5 - 8 東海地方の水平歪

Horizontal Strain in the Tokai Region

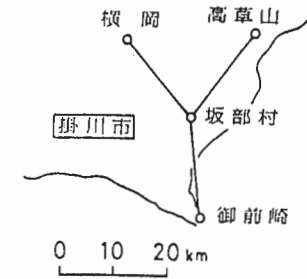
国土地理院
Geographical Survey Institute

第1図は御前崎放射基線の精密変歪測量結果である。今回（1983年12月）は前回（1982年12月）に比較して各辺とも伸びている。第2図は御前崎精密変歪測量結果である。第3図，第4図は駿河湾地域の精密変歪測量結果である。駿河湾は依然として北西－南東方向に縮んでいる。第5図，第6図，第7図は豊橋・浜松地方の水平歪である。第5図の左端付近の大きな歪は，1945年の三河地震（M7.1）によるものである。

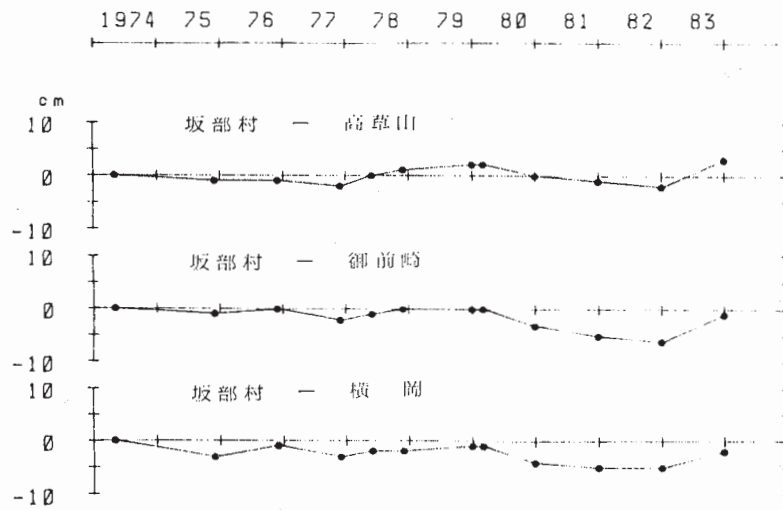
参 考 文 献

- 1) 国土地理院地殻調査部：東海地域の地殻変動，連絡会報，**26**（1981），186 - 198.
- 2) 国土地理院：東海地方の水平歪，連絡会報，**28**（1982），205 - 210.
- 3) 国土地理院：東海地方の水平変動，連絡会報，**30**（1983），203 - 207.

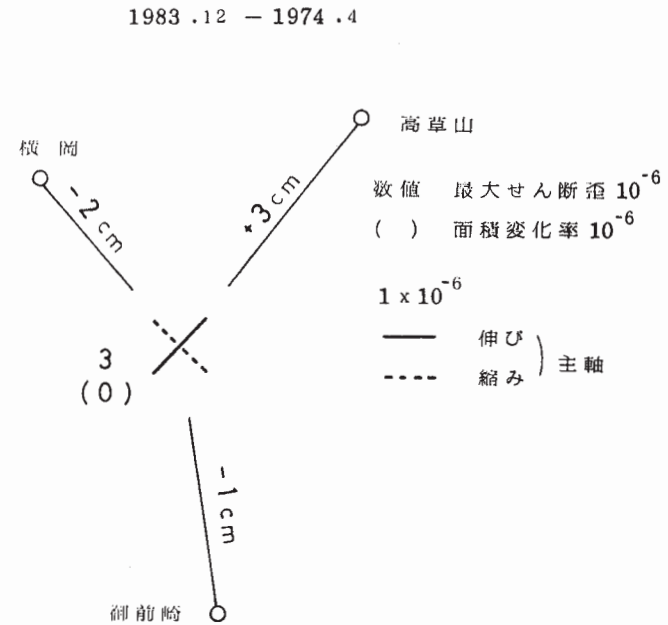
| 測定年 | | | | | | | | | | | | |
|-----------|----------|--------|--------|--------|-------|--------|--------|-------|--------|--------|--------|--------|
| 区 間 | 1974. 4 | 75. 11 | 76. 11 | 77. 11 | 78. 5 | 78. 11 | 79. 12 | 80. 2 | 80. 12 | 81. 12 | 82. 12 | 83. 12 |
| 坂部村 - 高草山 | 18335.45 | .44 | .44 | .43 | .45 | .46 | .47 | .47 | .45 | .44 | .43 | .48 |
| 坂部村 - 御前崎 | 18487.72 | .71 | .72 | .70 | .71 | .72 | .72 | .72 | .69 | .67 | .66 | .71 |
| 坂部村 - 横 岡 | 13071.67 | .64 | .66 | .64 | .65 | .65 | .66 | .66 | .63 | .62 | .62 | .65 |



距離の経年変化



距離変化及び水平歪

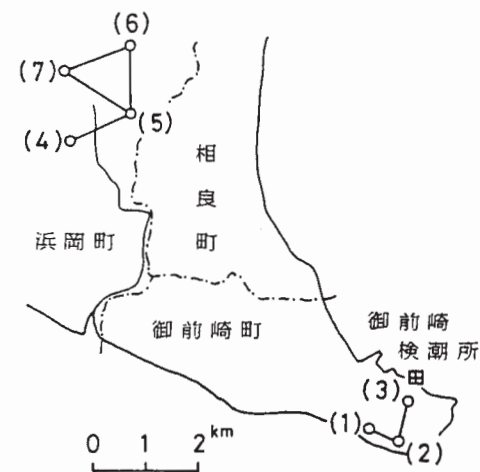
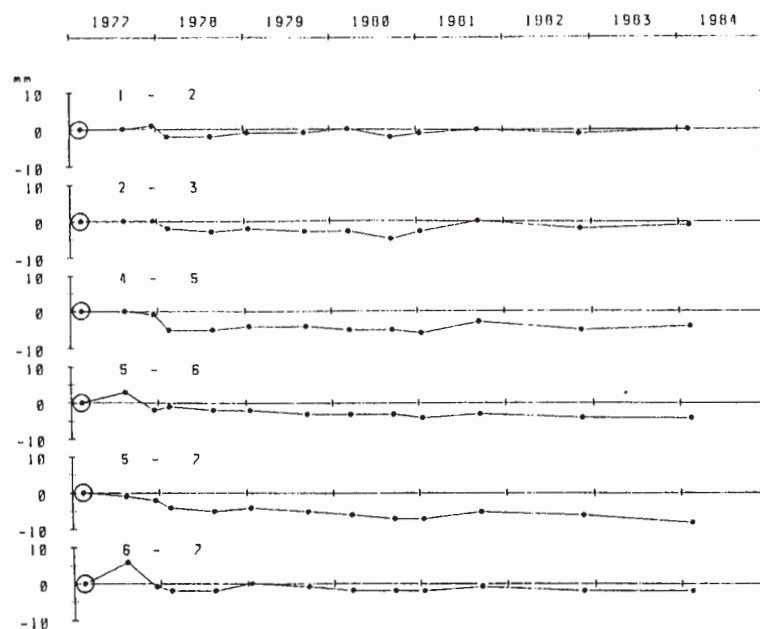


第1図 御前崎放射基線精密変歪測量結果

Fig. 1 Results of radial base line strain measurement in the Omaezaki area.

| 測定年 区 間 | 測定年 | | | | | | | | | | | | | |
|------------|----------------------|-------------------|-------------------|-------------------|-------------------|-------------------|-------------------|-------------------|-------------------|-------------------|-------------------|-------------------|-------------------|--|
| | 1977. 2 | 77. 8 | 77. 12 | 78. 2 | 78. 8 | 79. 1 | 79. 9 | 80. 3 | 80. 9 | 81. 1 | 81. 9 | 82. 11 | 84. 2 | |
| (1) - (2) | 558.247 ^m | .247 ^m | .248 ^m | .245 ^m | .245 ^m | .246 ^m | .246 ^m | .247 ^m | .245 ^m | .246 ^m | .247 ^m | .246 ^m | .247 ^m | |
| (2) - (3) | 716.901 | .901 | .901 | .899 | .898 | .899 | .898 | .898 | .896 | .898 | .901 | .899 | .900 | |
| (4) - (5) | 1268.240 | .240 | .239 | .235 | .235 | .236 | .236 | .235 | .235 | .234 | .237 | .235 | .236 | |
| (5) - (6) | 1186.477 | .480 | .475 | .476 | .475 | .475 | .474 | .474 | .474 | .473 | .474 | .473 | .473 | |
| (5) - (7) | 1408.410 | .409 | .408 | .406 | .405 | .406 | .405 | .404 | .403 | .403 | .405 | .404 | .402 | |
| (6) - (7) | 1289.426 | .432 | .425 | .424 | .424 | .426 | .425 | .424 | .424 | .424 | .425 | .424 | .424 | |

測器：メコメーター ME3000



第2図 御前崎精密変歪測量結果

Fig. 2 Results of precise distance measurement of the Omazaki short base lines.

水 平 歪

比較年：1983.11~12 — 1981.11~12

数 値：最大せん断歪 10^{-6}

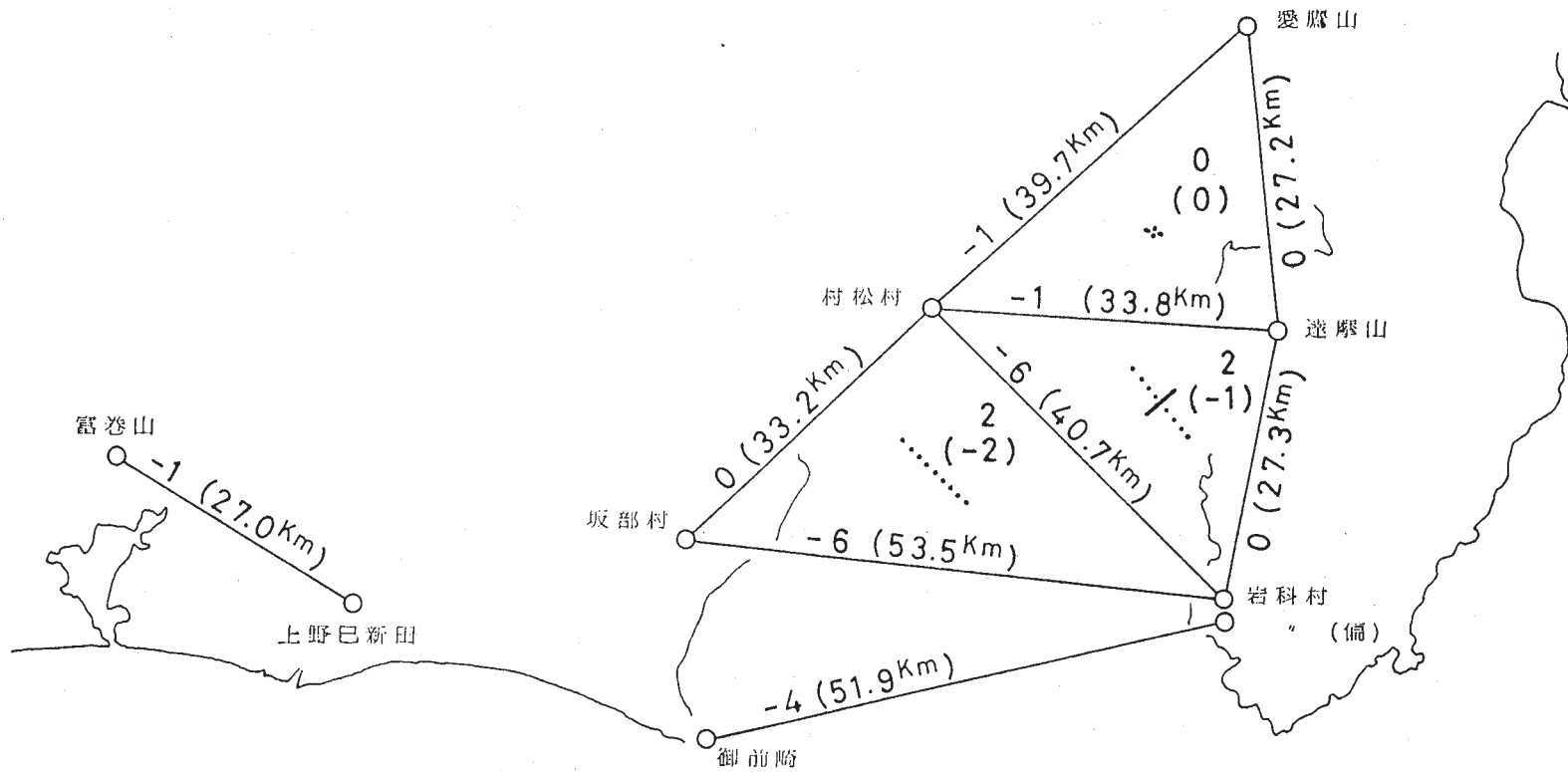
()：面積変化率 10^{-6}

1×10^{-6} 伸び
 縮み) 主軸

辺 長 変 化

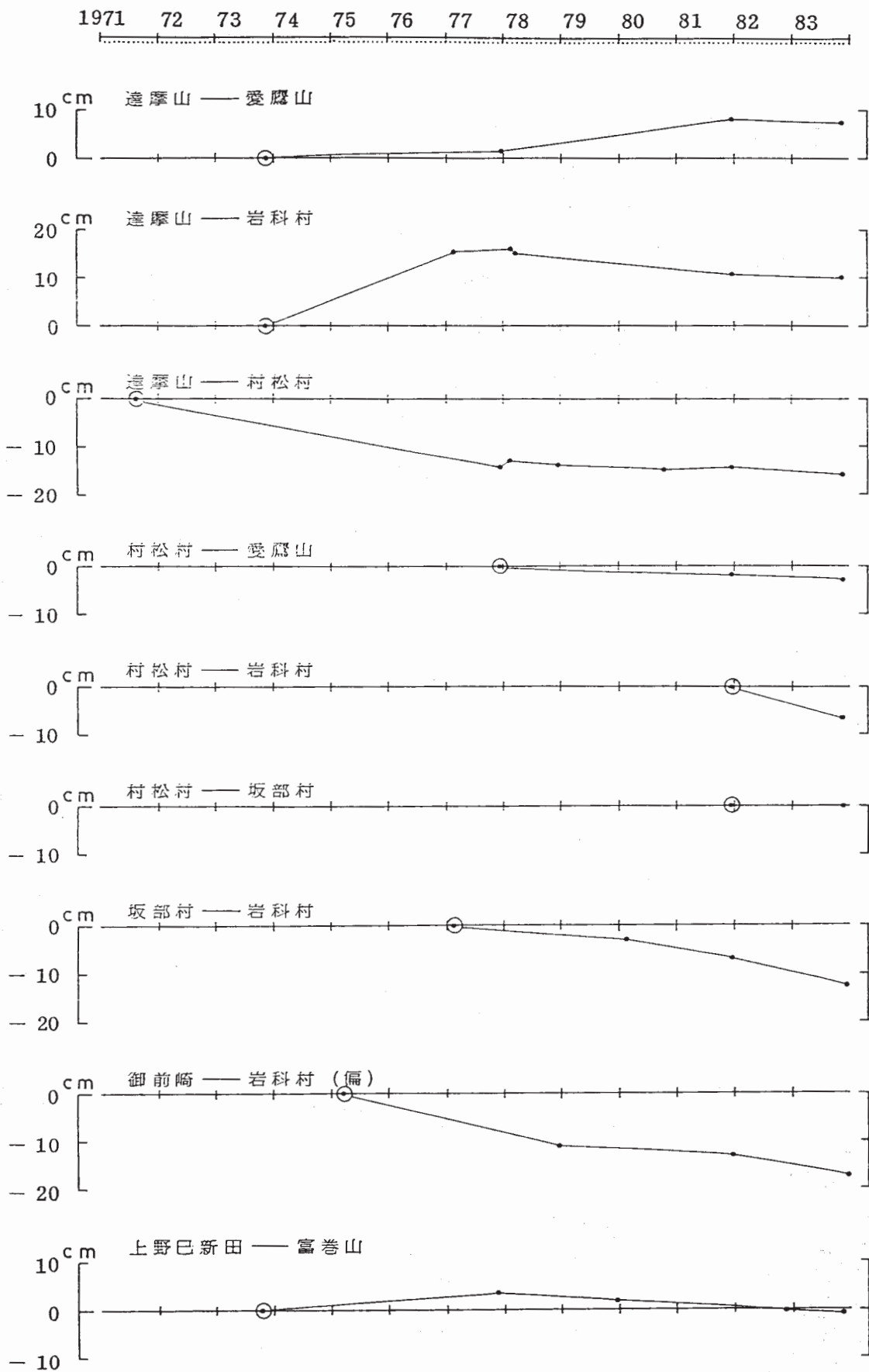
比較年：左に同じ

単 位：cm



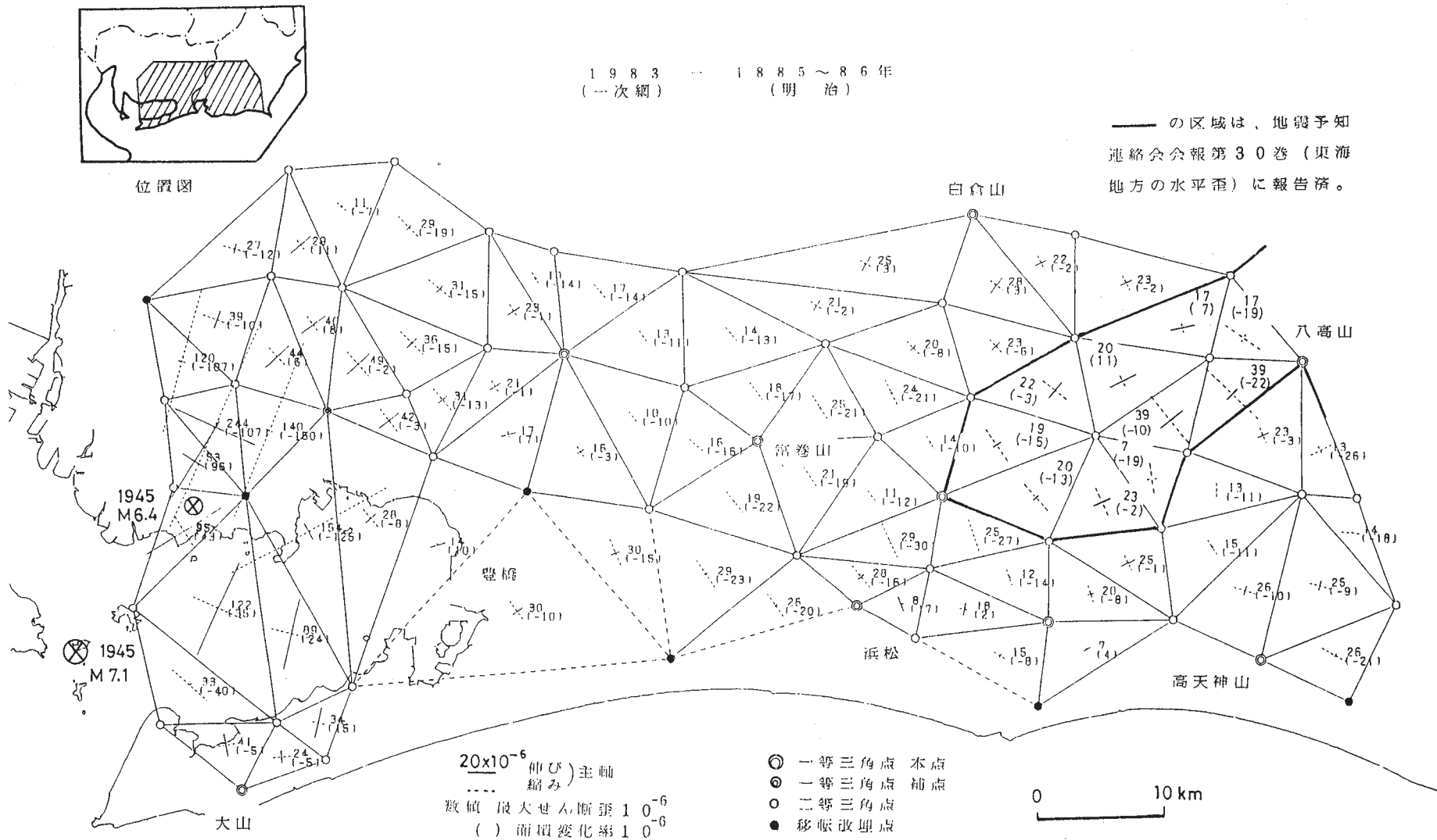
第3図 駿河湾地域の精密変歪測量結果(1)

Fig. 3 Results of precise distance measurement in the Suruga Bay region (1).



第4図 駿河湾地域の精密変歪測量結果(2) - 経年変化 -

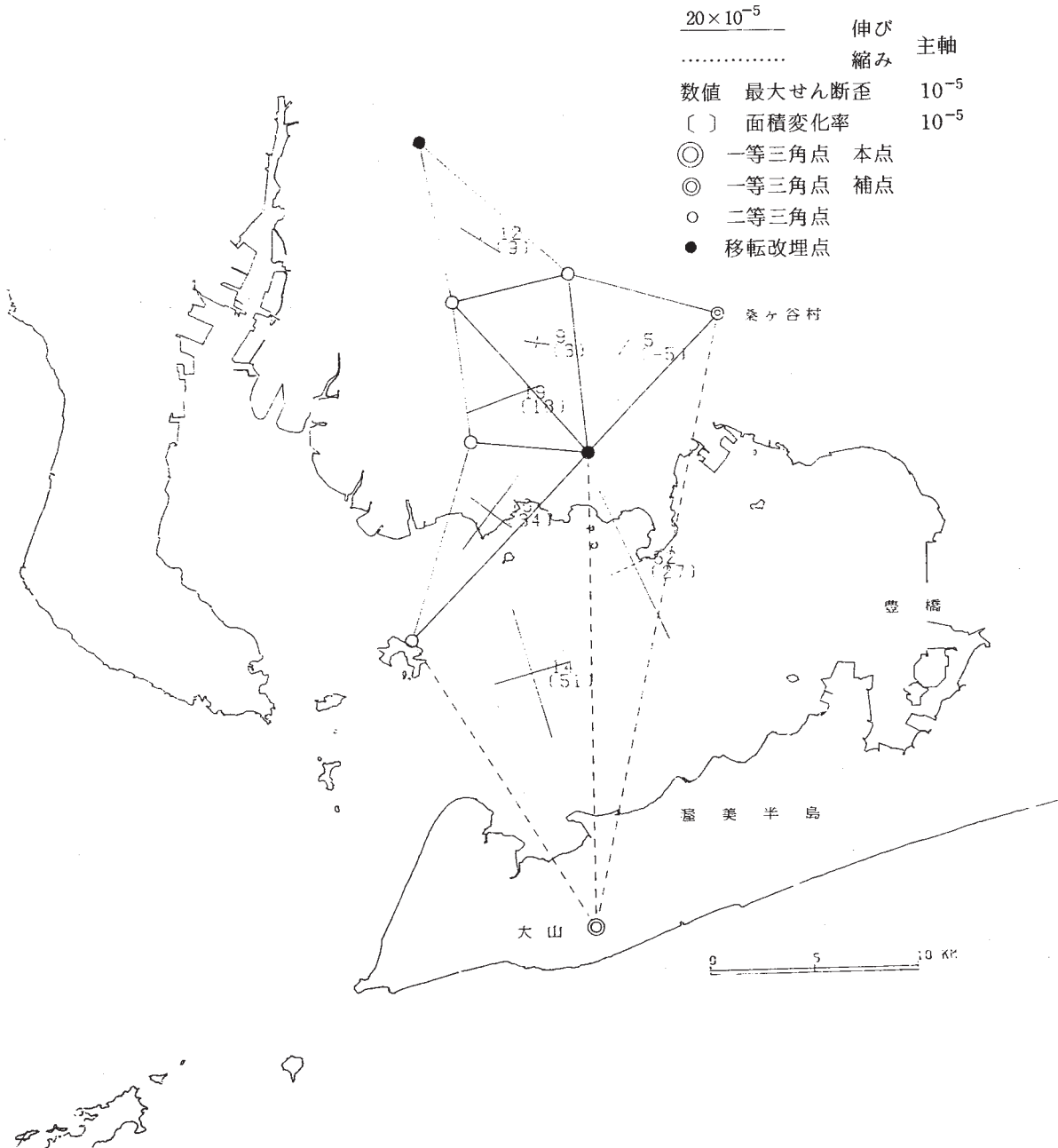
Fig. 4 Results of precise distance measurement in the Suruga Bay region (2) - Secular changes of the side lengths -



第5図 豊橋・浜松地方の水平歪(1)。1983年(一次網) - 1885~1886年(明治)

Fig. 5 Horizontal Strain in the Toyohashi - Hamamatsu region (1). 1983 - 1885 ~ 1886.

1983 - 1955 ~ 1956年
 (一次網) (改測)

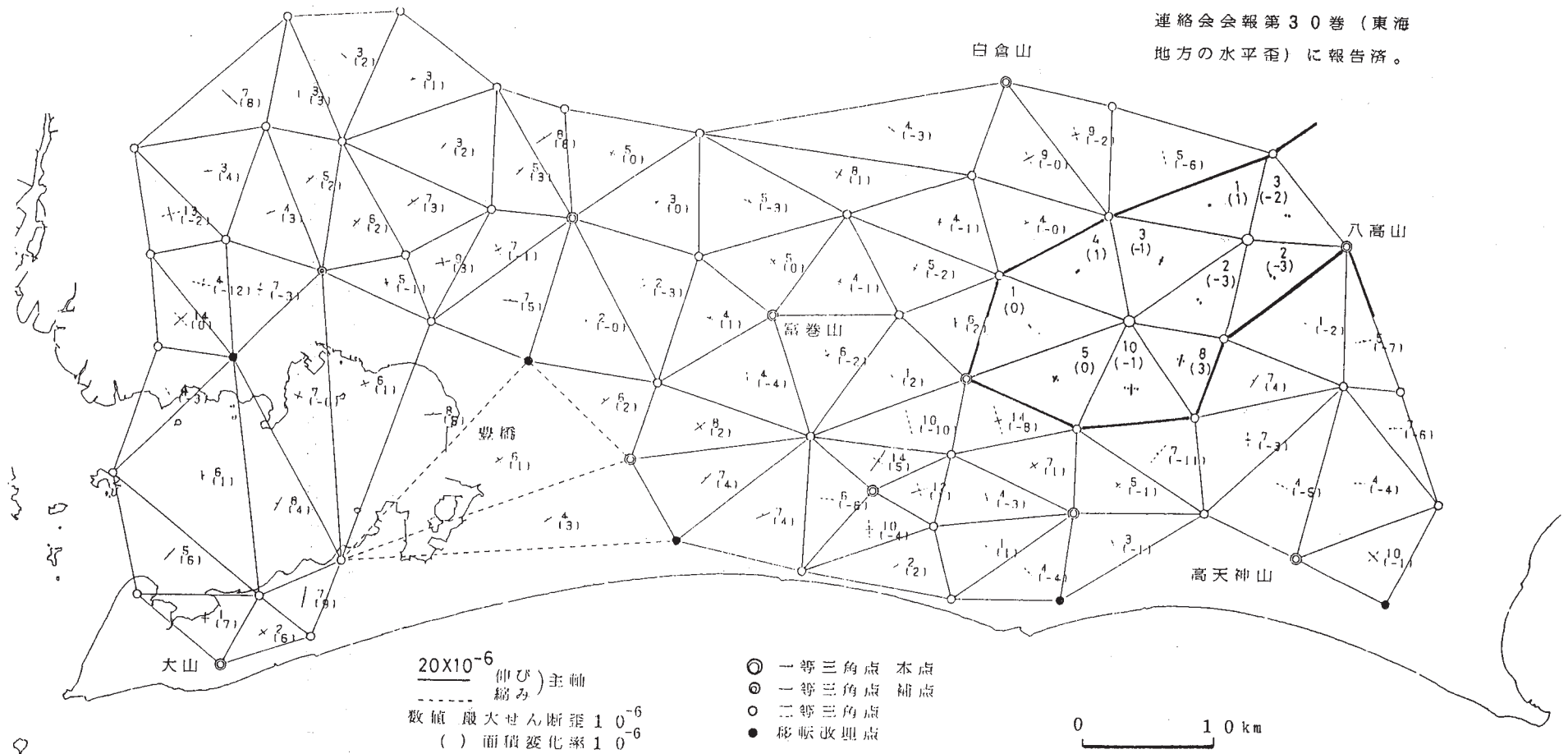


第6図 豊橋・浜松地方の水平歪 (2)。豊橋地方 (1983年 - 1955 ~ 1956年)

Fig. 6 Horizontal Strain in the Toyohashi - Hamamatsu region (2). Toyohashi area (1983 - 1955 ~ 1956).

1983 (一次網) 1974~76年 (一次網)

—— の区域は、地震予知
連絡会会報第30巻(東海
地方の水平歪)に報告済。



第7図 豊橋・浜松地方の水平歪(3)。1983年(一次網) - 1974~1976年(一次網)

Fig. 7 Horizontal Strain in the Toyohashi - Hamamatsu region (3). 1983 - 1974 ~ 1976,